

# On the Orr–Sommerfeld Equation with Linear Profile

A. V. Dyachenko<sup>(a)</sup> and A. A. Shkalikov<sup>(b)</sup>

Department of Mechanics and Mathematics,  
Moscow State University,  
Moscow, Russia

<sup>(a)</sup> e-mail: *sasha\_d@auriga.ru*

<sup>(b)</sup> e-mail: *shkal@mech.math.msu.ru*

## Abstract

The Orr–Sommerfeld equation with linear profile on the finite interval is considered. The behavior of the spectrum of this problem is completely investigated for large Reynolds numbers. The limit curves are found to which the eigenvalues concentrate and the counting eigenvalue functions along these curves are obtained.

# Уравнение Оппа–Зоммерфельда с линейным профилем

А. В. Дьяченко<sup>(a)</sup> и А. А. Шкаликов<sup>(b)</sup>

Механико-математический факультет,  
Московский Государственный Университет,  
Москва, Россия

<sup>(a)</sup> e-mail: *sasha\_d@auriga.ru*

<sup>(b)</sup> e-mail: *shkal@mech.math.msu.ru*

## Аннотация

Рассматривается уравнение Оппа–Зоммерфельда с линейным профилем. Полностью изучено поведение спектра для больших чисел Рейнольдса. Найдены предельные кривые, около которых концентрируются собственные значения, и получены функции распределения собственных значений вдоль этих кривых.

# 1 Введение

В статье дано описание спектра модельной задачи и задачи Оппа–Зоммерфельда в случае  $q(x) = x$ . Для модельной задачи найдена асимптотика собственных значений на луче  $[-i/\sqrt{3}, -i\infty)$ , сделано уточнение асимптотики [7] на отрезках  $[\pm 1, -i/\sqrt{3}]$  и дана оценка количества собственных значений в круге малого радиуса с центром в узловой точке  $-i/\sqrt{3}$ . Для задачи Оппа–Зоммерфельда показано, что в окрестности луча  $[-i/\sqrt{3}, -i\infty)$  собственные значения ведут себя точно так же, как и в модельной задаче. Однако в окрестности отрезка  $[-1, -i/\sqrt{3}]$  картина принципиально иная: собственные значения лежат на двух кривых, находящихся по разные стороны от этого отрезка и отстоящих от него на расстояние порядка  $\varepsilon^{1/2} |\ln \varepsilon|$ .

Итак, в случае  $q(x) = x$  модельная задача имеет вид:

$$-i\varepsilon y'' = (x - \lambda)y, \quad (1)$$

$$y(-1) = y(1) = 0, \quad (2)$$

где  $\lambda$  — спектральный параметр, а  $\varepsilon > 0$  — малый параметр.

Рассмотрим функцию

$$f(\lambda) = \int_{-1}^1 e^{-i\frac{\pi}{4}\sqrt{x-\lambda}} dx.$$

Она вещественна и строго возрастает на луче  $[-i/\sqrt{3}, -i\infty)$ , поэтому нули уравнения

$$f(\lambda) = \pi k \varepsilon^{1/2}$$

образуют монотонную последовательность  $-i\rho_k$  на этом луче:

$$id_\varepsilon < \rho_{k_0} < \rho_{k_0+1} < \dots$$

Здесь  $d_\varepsilon = -i \left( \frac{1}{\sqrt{3}} + \varepsilon^{1/2} \ln \varepsilon^{-\theta} \right)$ , где  $\theta > \frac{1}{3}(3/4)^{3/4}$  — фиксированное число.

**Теорема 1.** *При достаточно малых  $\varepsilon > 0$  все собственные значения задачи (1), (2), лежащие в некоторой окрестности луча  $[d_\varepsilon, -i\infty)$ , являются простыми и образуют монотонную последовательность чисел на отрицательной мнимой оси. При этом на интервале*

$(d_\varepsilon, -i(\rho_{k_0} + O(\varepsilon)))$  может находиться не более двух собственных значений, а все остальные собственные значения имеют вид

$$\lambda_k = -i(\rho_k + \rho_k^{-1}O(\varepsilon)), \quad k = k_0 + 1, k_0 + 2, \dots$$

Асимптотика собственных значений вблизи отрезков  $[\pm 1, -i/\sqrt{3}]$  была получена в [7]. В следующей теореме приведены уточненные формулы.

**Теорема 2.** Собственные значения задачи (1), (2) симметричны относительно мнимой оси и в окрестности отрезка  $[-1, -i/\sqrt{3}]$  имеют асимптотику

$$\begin{aligned}\lambda_k &= (e^{-i\frac{\pi}{6}}t_k - 1) \left( 1 + O\left(e^{-\varepsilon^{-1/2}\varphi(t_k)}\right) \right), \\ \varphi(t) &= \frac{4}{3} \operatorname{Re}(2e^{i\frac{\pi}{6}} - t)^{3/2},\end{aligned}$$

где  $t_k$  — нули функции Эйри–Фока  $v(-\varepsilon^{-1/3}t) = 0$ , когда  $t \in \left[0, \frac{2}{\sqrt{3}} - \varepsilon^{1/2} \ln \varepsilon^{-\theta}\right]$ . При этом

$$(\varepsilon^{-1/3}t_k)^{3/2} = \frac{3\pi}{2} \left(k - \frac{1}{4}\right) + O\left(\frac{1}{k}\right), \quad k = 1, 2, \dots$$

Предельное множество концентрации собственных значений

$$T = \left[-1, -i/\sqrt{3}\right] \cup \left[1, -i/\sqrt{3}\right] \cup \left(-i/\sqrt{3}, -i\infty\right)$$

названо в [7] «спектральным галстуком». Функцию  $N(\lambda, \varepsilon)$ , определенную при  $\lambda \in T$ , назовем функцией распределения собственных значений задачи (1), (2), если для всех  $\lambda_1, \lambda_2$ , принадлежащих любой связной компоненте множества  $T$  (узел  $-i/\sqrt{3}$  исключается), число собственных значений на отрезке  $[\lambda_1, \lambda_2]$  (или в малом прямоугольнике, стороны которого проходят через  $\lambda_1$  и  $\lambda_2$ ) равно  $|N(\lambda_2, \varepsilon) - N(\lambda_1, \varepsilon)|$ .

**Теорема 3.** Функция распределения собственных значений задачи (1), (2) при  $\varepsilon \rightarrow 0$  на сегментах  $[\pm 1, -i/\sqrt{3}]$  имеет вид

$$N(\lambda, \varepsilon) = \pm \frac{\varepsilon^{-1/2}}{\pi} \int\limits_{\lambda}^{\pm 1} e^{-i\frac{\pi}{4}} \sqrt{x - \lambda} dx + O(1),$$

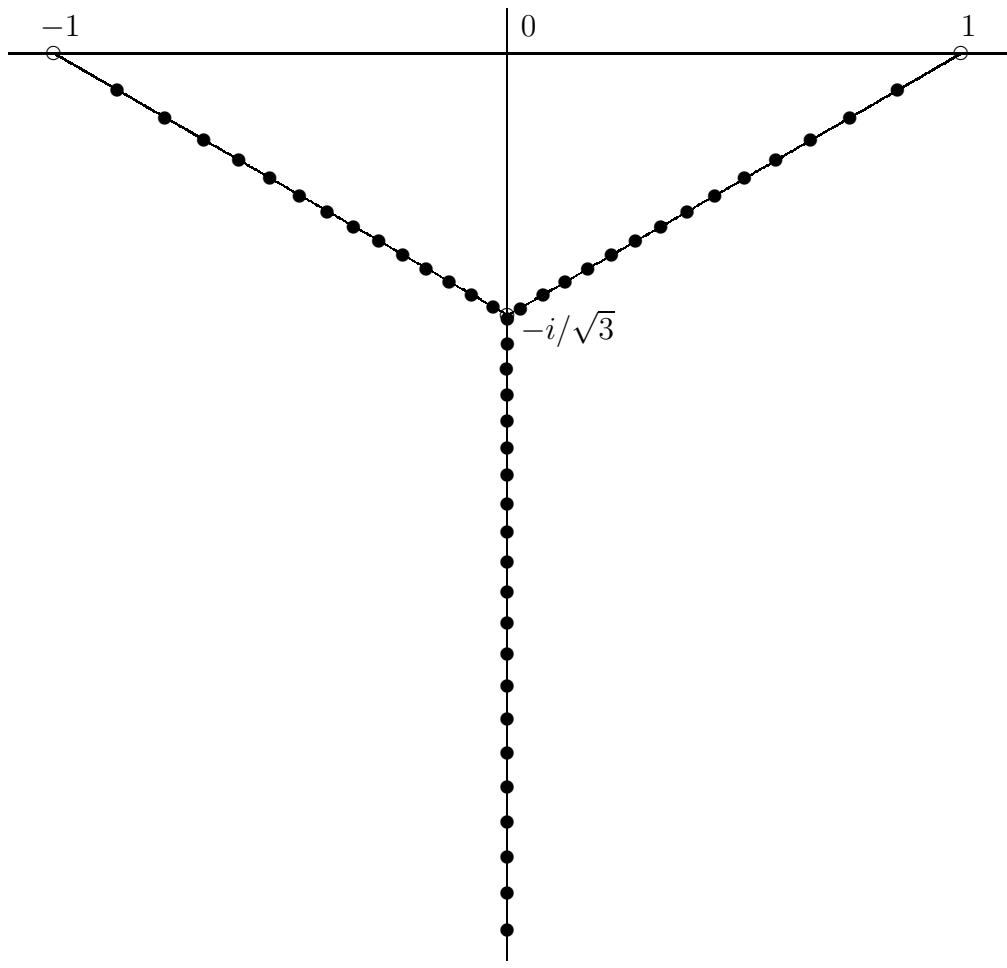


Figure 1: Спектр модельной задачи для профиля Куэтта,  $R = 3000$ ,  $\alpha = 1$

а на луче  $(-i/\sqrt{3}, -i\infty)$

$$N(\lambda, \varepsilon) = \frac{\varepsilon^{-1/2}}{\pi} \int_{-1}^1 e^{-i\frac{\pi}{4}} \sqrt{x - \lambda} dx + O(1).$$

**Теорема 4.** Количество собственных значений задачи (1), (2) в круге малого радиуса  $\delta$  с центром в точке бифуркации  $-i/\sqrt{3}$  равно (при  $\varepsilon \rightarrow 0$ )

$$N_\delta(\varepsilon) = \frac{\varepsilon^{-1/2}}{\pi} \left( f\left(-i/\sqrt{3} - i\delta\right) - \frac{4}{3} \left(\frac{2}{\sqrt{3}} - \delta\right)^{3/2} \right) + O(1).$$

В круге уменьшающемся радиуса  $\varepsilon^{1/2} \ln \varepsilon^{-\theta}$ , при фиксированном  $\theta > \frac{1}{3}(3/4)^{3/4}$ , число собственных значений равно

$$N_{\varepsilon^{1/2} \ln \varepsilon^{-\theta}}(\varepsilon) = \frac{2^{1/2} 3^{3/4}}{\pi} \ln \varepsilon^{-\theta} + O(1), \quad \varepsilon \rightarrow 0.$$

Далее рассматривается задача Оппа–Зоммерфельда с линейным профилем

$$-i\varepsilon(w'' - \alpha^2 w) = (x + i\varepsilon\tilde{\lambda})w, \quad w = y'' - \alpha^2 y, \quad (3)$$

$$y(\pm 1) = y'(\pm 1) = 0. \quad (4)$$

Здесь  $\varepsilon = 1/\alpha R$ ,  $\tilde{\lambda}$  — спектральный параметр,  $R$  — число Рейнольдса, а  $\alpha$  — волновое число. Для дальнейших рассмотрений удобно ввести другой спектральный параметр:  $\lambda = i\varepsilon(\alpha^2 - \tilde{\lambda})$ .

Для вычисления собственных значений в окрестности отрезка  $[-1, -i/\sqrt{3}]$  выберем на нем точки  $d_1$  и  $d_2$ , которые при  $\varepsilon \rightarrow 0$  приближаются к концам отрезка  $-1$  и  $-i/\sqrt{3}$  так, что

$$\begin{aligned} \varepsilon^{-1/3} | -1 - d_1 | &\rightarrow +\infty, \\ |-i/\sqrt{3} - d_2| &= 2\varepsilon^{1/2} \ln \varepsilon^{-\theta}, \quad \theta > \frac{1}{3} \left(\frac{3}{4}\right)^{3/4}. \end{aligned}$$

**Теорема 5.** Запишем  $\lambda$  из некоторой окрестности отрезка  $[d_1, d_2]$  в виде

$$\lambda = -1 + e^{-i\frac{\pi}{6}} \varepsilon^{1/3} \mu^{2/3} e^{i\delta}, \quad \mu \rightarrow +\infty.$$

Тогда асимптотически, при  $\varepsilon \rightarrow 0$ , собственные значения задачи (3), (4) располагаются на двух линиях

$$\delta^\pm = \pm \frac{\ln(c(\lambda)\sqrt{\mu})}{\mu} + O\left(\frac{1}{\mu^{3/2}}\right)$$

и для  $k$ -ого собственного значения

$$\mu_k^\pm = 3\pi(k - \frac{1}{8} \mp k_0(\lambda)) + O\left(\frac{1}{\mu^{1/2}}\right),$$

где

$$c(\lambda) = 2\sqrt{\pi} \frac{|\operatorname{sh}[\alpha(1-\lambda)]|}{\operatorname{sh} 2\alpha}, \quad k_0(\lambda) = \frac{1}{2\pi} \arg \operatorname{sh} [\alpha(1-\lambda)],$$

а номера  $k$  выбираются так, чтобы

$$m_1 < \varepsilon^{1/3} \mu_k^{2/3} < \frac{2}{\sqrt{3}} - m_2,$$

где

$$\varepsilon^{-1/3} m_1 \rightarrow +\infty, \quad m_2 = 2\varepsilon^{1/2} \ln \varepsilon^{-\theta}, \quad \theta > \frac{1}{3} \left(\frac{3}{4}\right)^{3/4}.$$

Для собственных значений на луче  $(-i/\sqrt{3}, -i\infty)$  имеет место следующий аналог теоремы 1.

**Теорема 6.** При достаточно малых  $\varepsilon > 0$  все собственные значения задачи (3), (4), лежащие в некоторой окрестности луча  $[d_\varepsilon, -i\infty)$ , являются простыми и образуют монотонную последовательность чисел на отрицательной мнимой оси. При этом на интервале  $(d_\varepsilon, -i(\rho_{k_0} + O(\varepsilon)))$  может находиться не более двух собственных значений, а все остальные собственные значения имеют вид

$$\lambda_k = -i(\rho_k + O(\varepsilon)), \quad k = k_0 + 1, k_0 + 2, \dots$$

## References

- [1] Дикий Л. А. Гидродинамическая устойчивость и динамика атмосферы // Л.: Гидрометеоиздат. 1973.

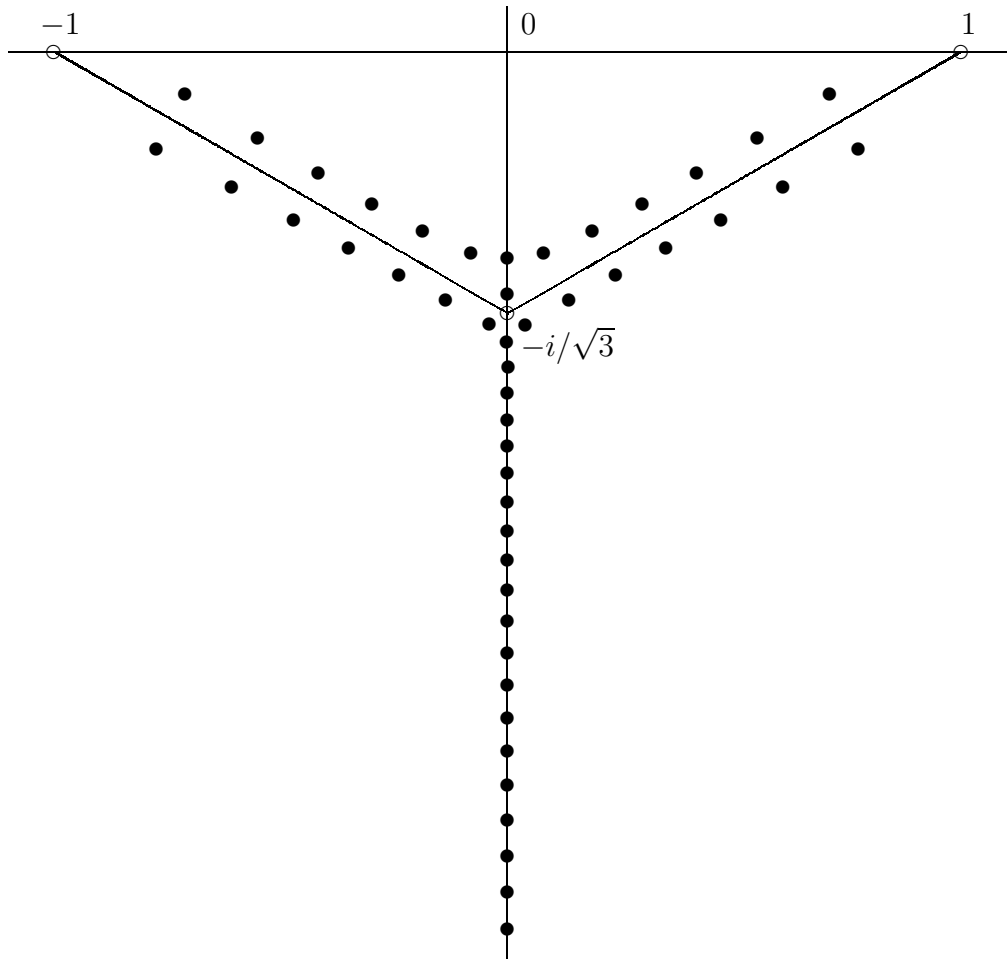


Figure 2: Спектр задачи Оппа–Зоммерфельда для профиля Куэтта,  $R = 3000$ ,  $\alpha = 1$

- [2] Дьяченко А. В., Шкаликов А. А. *О модельной задаче для уравнения Orra–Зоммерфельда с линейным профилем*// Функциональный анализ и его приложения. 2002. **36**, N 3. 71-75.
- [3] Нейман-заде М. И., Шкаликов А. А. *О вычислении собственных значений задачи Orra–Зоммерфельда*// Фундаментальная и прикладная математика 2002. **10**, N 2.
- [4] Романов В. А. *Устойчивость плоскопараллельного течения Кэттла*// Функциональный анализ и его приложения. 1973. **7**, N 2. 62-73.
- [5] Туманов С. Н., Шкаликов А. А. *О предельном поведении спектра модельной задачи для уравнения Orra–Зоммерфельда с профилем Пуазейля*// Известия РАН. 2002. **66**, N 4.
- [6] Федорюк М. В. *Асимптотические методы для линейных обыкновенных дифференциальных уравнений*// М.: Наука. 1983.
- [7] Шкаликов А. А. *О предельном поведении спектра при больших значениях параметра одной модельной задачи*// Мат. заметки. 1997. **62**, N 6. 950-953.
- [8] Шкаликов А. А. *Линии Стокса и «спектральный галстук» в проблеме Orra–Зоммерфельда*// УМН. 1998. **53**, N 4. С. 140.
- [9] Morawetz C. S. *The Eigenvalues of Some Stability Problems Involving Viscosity*// J. Rat. Mech. Anal. 1952. **1**. 579-603.
- [10] Tumanov S. N. *Model problem for Poiseile profile. Critical spectrum curve.*// International conference «Differential Equations and Related Topics». Book of abstracts. Moscow. 2001. 413-414.